

## II-206 通気条件下における放射性核種の分配係数について

京都大学工学部 学  
京都大学工学部 正  
京都大学工学部 正  
○城内 将人  
井上 賴輝  
森澤 真輔

### 1.はじめに

地層を構成する土粒子の間隙が水で飽和されていない帶水層(地下水層)内での分配係数の測定法は、カラム法、バッチ法とも、理論的にもまだ実験手法の面からもよく研究されている。しかしながら、土粒子間隙が水による、も飽和されていない通気層(地表面と地下水層で挟まれる地層)内での放射性核種の分配係数の測定法についてはほとんど研究されていない。ここでは、通気層内での分配係数の測定法について検討し、かつ分配係数が土壤水分によつてどのように変化するかを調べることを目的とする。

### 2.理論的検討

通気層内での放射性核種の移動を予測するためには、土壤水分の非定常浸透を記述する基礎式、放射性核種の物質収支を記述する式、放射性核種の土壤水分と土壤との間の吸着反応を記述する基礎式を連立して解く必要がある。これらの基礎式は、通常は解析的には解くことができないので、電算機を用いて数値的に解かざるを得ない。しかしながら、土壤水分の分布が一様かつ定常であり、土壤中の放射性核種濃度 $\theta$ と土壤水分中の放射性核種濃度 $C$ との間に瞬間に吸着平衡関係が成立するとみなせる場合には、土壤水分の移動を実験的に把握することにより、放射性核種の移動を予測することができます。

すなわち、地層内での土壤水分の移動を実験的に把握し、その時間スケールを次式で定まる $K_f$ ファクターで読み代えることにより、放射性核種の移動を予測できることになる。

$$K_f = 1 + \frac{1-f}{fS} \rho k_d \quad \dots \dots \dots (1)$$

ここに、  
 $f$ : 地層の間隙率  
 $S$ : 地層間隙の水による飽和度  
 $\rho$ : 土壤密度  
 $k_d$ : 分配係数

ところが、 $K_f$ ファクターを算出すための各变数のうち $f$ 、 $S$ 、 $\rho$ は実験条件として定めることができるのが $k_d$ の値を正しく求める方法が確立していないため、上述の方法と放射性核種の移動の予測法として用いることは、現段階では制約が大きいと言わざるを得ない。ここでは、この方法を逆に適用して、分配係数 $k_d$ を測定する方法として使用することにする。

### 3. 実験および結果

内径 5 cm のアクリル製カラムに、粘土分をほとんど含まない砂 490 g を高さ 15.4 cm、平均間隙率 0.393 としように充填した。用いた砂の密度は 2.67 g/cm<sup>3</sup> である。このカラムに水道水を 27 ml/hr の割合で約 50 時間通水し、地層内の土壤水分分布が定常分布になった後、同じ供給濃度で <sup>85</sup>Sr ( $C_0 = 3.9 \times 10^{-4}$  mci/ml) および三重水素水(記号 HTO;  $C_0 = 8.0 \times 10^{-4}$  mci/ml) を含む水道水を供給した。供給時間は 19.5 時間である。

カラム流出液中の HTO 濃度を液体シンチレーションカウンターを用いて測定することによって得た HTO の流出曲線を図-1 に、また実験停止後にカラムを解体して測定した砂層中の <sup>85</sup>Sr 分布(図-2 中の●印)および土壤水分分布(図-2 中の○印)を図-2 に示す。なお、土壤水分は土壤みかけ単位体積当たり含まられる土壤水分容積(いわゆる体積含水率)を表示した。土壤水分を  $\theta$  とすると、 $\theta$  と地層の間隙率 $f$ および地層間隙の水による飽和度 $S$ との間には、 $fS = \theta$  なる関係がある。

### 4. 考察

図-1に示すHTOの流出曲線から、カラムが無限に長い場合の間隙水中HTO濃度分布を推定1。(ただし、これは水とともに流れ HTOの濃度分布が、時間の経過に対して相似な形で下方に移動していくと仮定していく) 同分布を  $1/K_f$  倍に縮尺することによって砂層内のHTO濃度分布を推定予測1、その結果を図-2(図中の○印)に示す。ただし、 $K_f$  の予測には次式を用いた。

$$K_f = \frac{a \cdot V \cdot t}{a \cdot b} \quad \text{---(2)} \quad \text{ここで} \quad \begin{cases} a : \text{砂層深さ(cm)} & V : \text{通水速度(cm/hr)} \\ a : \text{水の流出曲線で} G_C = 0.5 \text{ のときの通水量(ml)} & t : ^{85}\text{Srの通水時間(hr)} \\ b : ^{85}\text{Srの砂層内分布曲線で} G_{85} = 0.5 \text{ のときの砂層深さ(cm)} \end{cases}$$

図-2は、 $^{85}\text{Sr}$  砂層内分布の実測値と予測値とがよく一致することを示している。このことは砂中の $^{85}\text{Sr}$  濃度と土壤水分中の $^{85}\text{Sr}$  濃度が瞬時に平衡関係にあるとした仮定が妥当であること、および実験に先だって砂層に水道水を供給することにより、砂層内の水分分布がほぼ一様、一定にすることができたこと、を間接的に支持していると考えることができます。

$^{85}\text{Sr}$  の予測に用いた  $K_f$  値は 22.56、式(2)中の  $S$  については図-2の平衡飽和度を用いることすれば  $S = 0.72$  となる。ゆえに式より求めた分配係数は、 $k_d = 3.77 \text{ ml/g}$  となる。

以上の一連の実験を  $\theta$  を変化させて条件で数多く行なうことによって分配係数  $k_d$  が  $\theta$  の値によってどのようになるかを現在調べてみると、今までのところは土壤水分  $\theta$  が大きくなると始めて大きくなるという結果が得られていて、5. おわりに

本研究で検討した測定法は、簡便に分配係数を決定するための有効な方法であると考えられる。ただし、この測定法をより確実なものにするためにには、放射性核種の種類

ごとに、用いるべきカラムの形状、通水速度、土壤量等の実験条件について検討を要めると他、流入水中の放射性核種濃度  $C_0$  に平衡な砂中放射性核種濃度  $G_{85}$  の評価方法、カラム内の土壤水分分布が分配係数の評価値にどの程度の影響を及ぼすか等について、さらに理論的、実験的に検討しなければならない。

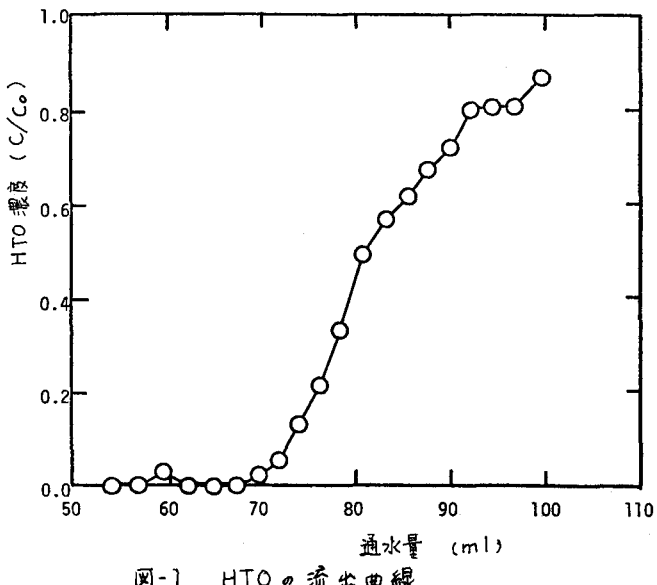


図-1 HTOの流出曲線

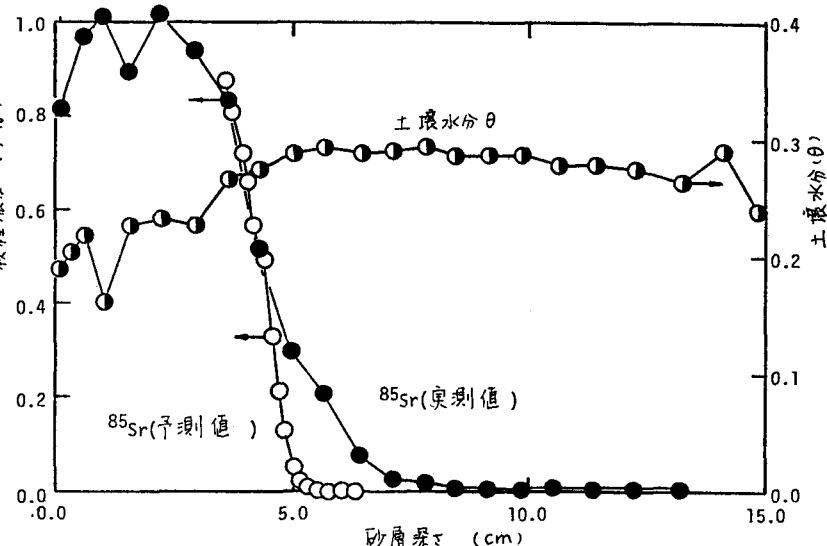


図-2 土壤水分の砂層内分布および $^{85}\text{Sr}$  地層内分布の予測値と実測値との比較